

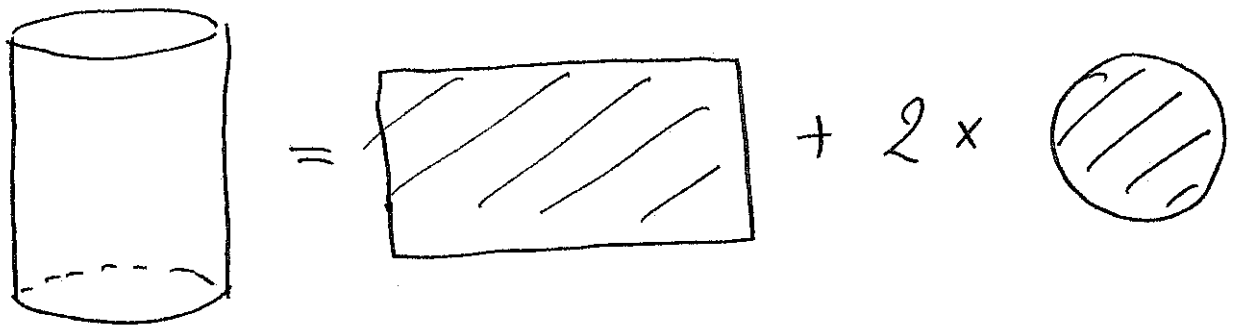
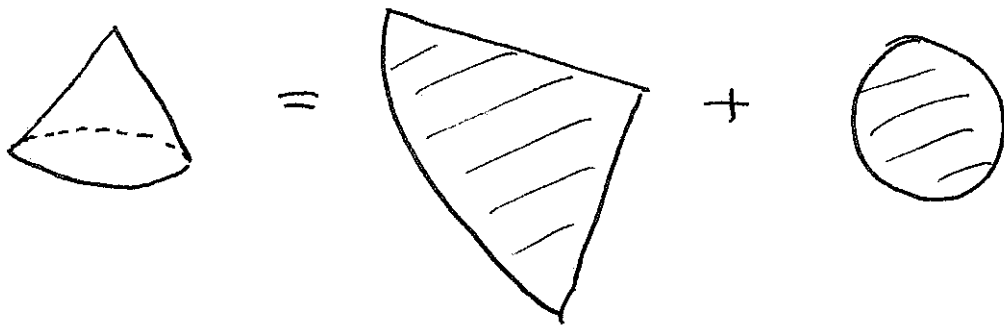
Miara powierzchniowa

Cała teoria miary - i znaczna część geometrii -
- wiąże się z przyziemnej potrzeby mierzenia
pola kapusty czy pszenicy. Oczywiście najprościej,
gdy pole jest w miarę płaskie i prostokątne;
póki jest płaskie, umiemy sobie poradzić
z tym, że ma inny kształt (po to była
nam 2-wymiarowa miara Lebesgue'a).

Jak jednak zmierzyć powierzchnię powiatu
nowotarskiego? Albo państwa takiego jak
Rosja? Przybliżanie ich podziobrem płaskizny
prowadzi do bardzo gubnych błędów.

A jednak w Wikipedii znajdziemy jakiejś
miękkosci tych pól - więc najwyraźniej się da.

Podobny problem napotykaamy przy liczeniu
pola powierzchni figur przestrzennych. Nie ma
problemu, gdy są to wielościany - rozcinamy
je wzdłuż niektórych krawędzi i rozkładamy
do ich siatki, a to - jako podzobór płaskizny -
- umiemy już zmierzyć. Ta sama metoda
zadziała w przypadku stożka czy walca:

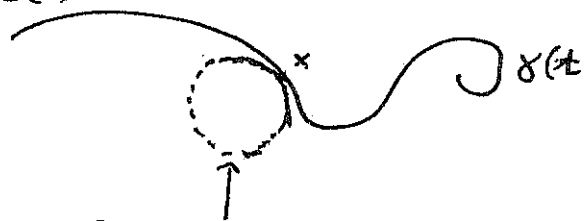


Pomysł: chcemy podzielić figurę na kilka części, z których każdą można izometrycznie przekształcić na podzbiór płaszczyzny.

Problem: Nie da się tego zrobić z powierchnią kuli:

Tu krótka dygresja: mając krzywą klasy C^2 na płaszczyźnie możemy w każdym jej punkcie x wyznaczyć jej krzywiznę: $\kappa(x)$

Konwencja: \ominus , gdy okrąg jest po prawej, \oplus , gdy po lewej stronie krzywej



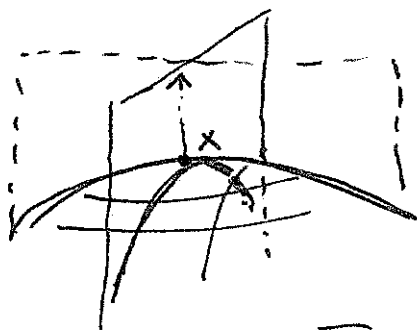
dla punktów t w pobliżu x O_x - okrąg najlepiej styczny; odległość $d(\gamma(t), O_x) = o(x-t)$

Jeżeli r_x to promień O_x , to $\kappa(x) \stackrel{\pm}{=} \frac{1}{r_x}$; gdy krzywa w pobliżu x jest ~~prostą~~ bardzo bliska odcinkowi ($r_x = +\infty$), to $\kappa(x) = 0$.

Zadanie: Mając parametryzację $\gamma \in C^2(\mathbb{R}, \mathbb{R}^2)$

wymiaru $\kappa(x)$ i r_x w dowolnym $x \in \mathbb{R}$.

Dla powierzchni klasy C^2 w \mathbb{R}^3 możemy zrobić coś zbliżonego:



Biorąc punkt x na powierzchni Γ tniemy ją płaszczyzną zawierającą wektor prostopadły do Γ w x , otrzymując krzywą γ_φ , a w zasadzie -

- całą rodzinę krzywych γ_φ , zależnych od kąta φ , parametryzującą płaszczyznę cięcia.

Każdej z tych krzywych możemy przypisać krzywiznę $\kappa_\varphi(x)$ w punkcie x ; jeżeli Γ jest klasy C^2 ,

to $\kappa_\varphi(x)$ jest ciągłą funkcją kąta φ , $\varphi \in S^1$, więc przyjmuje wartość minimalną i maksymalną: $\kappa_{\min}(x)$ i $\kappa_{\max}(x)$. Dość niezwykłe jest to, że

~~zawsze płaszczyznę, dla których osią~~ jeżeli κ_{\min} osiągnięte jest dla kąta φ , to κ_{\max} jest osiągnięte dla $\varphi + \pi/2$ (płaszczyznę $\pi/2$ prostopadłe).

Wzrost $\kappa_{\min}(x)$ $\kappa_{\max}(x)$ nazywamy krzywizną Gaussa powierzchni Γ w x i oznaczamy $\kappa(x)$.

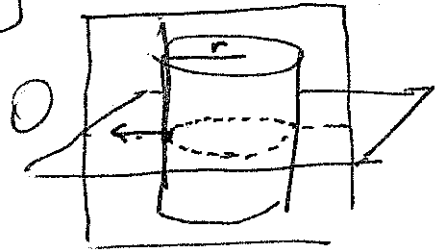
Twierdzenie (Theorema egregium - twierdzenie szacowne Gaussa, 1827)

κ jest niezmiennikiem lokalnych izometrii

Wniośli:

powierzchni bocznej

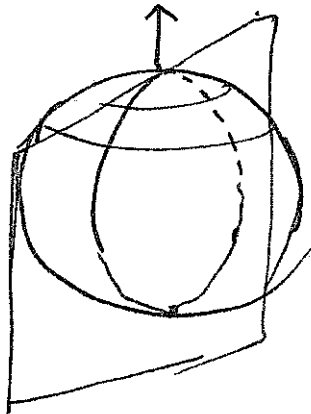
Krzywizna Gaussa walca jest 0



$$\alpha_{\min} = 0, \quad \alpha_{\max} = \frac{1}{r}$$

$$K = 0 \cdot \frac{1}{r}$$

2. Za to krzywizna ~~z~~ sfery o promieniu r jest $K = \frac{1}{r^2}$:



krojenie sfery daje zawsze kóło wielkie

Dlatego powierzchnię walca można odwzorować na płaszczyznę (a dokładniej - jej podzbiór) z zachowaniem odległości, a powierzchni sfery nie - i to żadnego jej otwartego kawałka!

Więcej o tym (w szczególności - o słowody) - na wykładzie z geometrii różniczkowej.

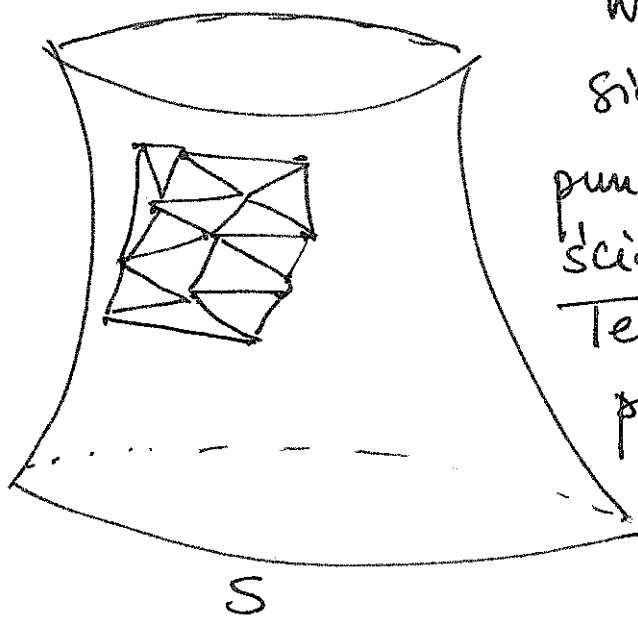
No to jak miernić pole powierzchni w \mathbb{R}^3 ?

Gdy chcieliśmy obliczyć długość krzywej $\gamma: [a, b] \rightarrow \mathbb{R}^n$, zdefiniowaliśmy $l(\gamma)$ jako

\sup supremum długości łamanych wpisanych w γ ; oczywiście okazało się, że gdy średnica podziału związanego z łamanyą dążyła do zera, długość łamanych dążyła do $l(\gamma)$.

To sugeruje pomysł na miernienie pola powierzchni:

TRIANGULACJA



Wybieramy na S gęstą sieć N punktów, łączymy punkty, tworząc wielokąt, którego ścianami są trójkąty. Ten wielokąt W przybliża powierzchnię S ,

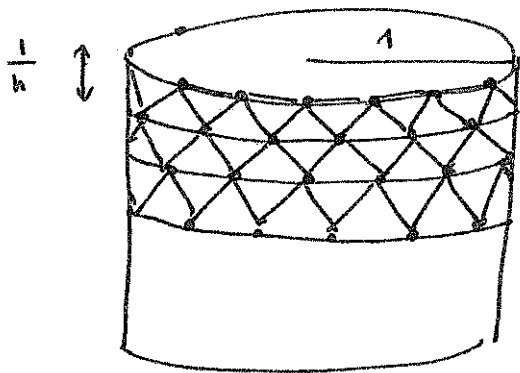
Niech $\delta(W) = \sup \max$ długości krawędzi W .

Czy $P(S) = \sup P(W)$? $\lim_{\delta(W) \rightarrow 0} P(W)$?

Takiej definicji pola ~~wybra~~ ucrono studentów jeszcze ok. 1870-1880 roku (np. Hermite), dopóki jednocześnie H. Schwartz i G. Peano nie zauważyli, że jest ona błędna.

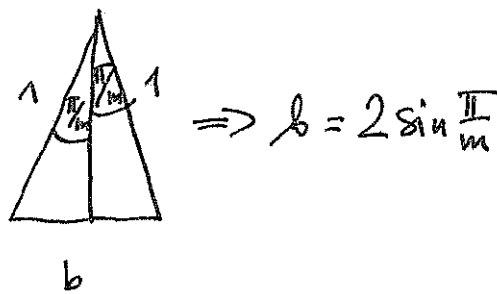
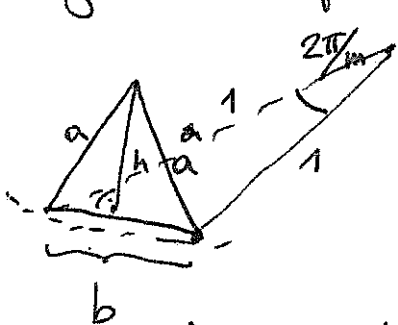
Ćwiczenia laboratoryjne Hermanna Schwartza

Wykonajmy pewną szczególną triangulację $W_{n,m}$ powierzchni bocznej walca

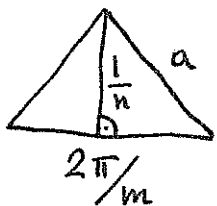


Discyliny tworząca ma n części, uzyskując $n+1$ okręgów. Na każdym z nich zaznaczamy m punktów w równych odstępach; na sąsiednich okręgach punkty są przesunięte o $\frac{\pi}{m}$. W ten sposób dostajemy triangulację powierzchni S .

Aby znaleźć pole trójkąta P_{Δ} tej triangulacji, musimy rozwiązać kilka prostych zadań z geometrii płaskiej:



Po rozminięciu pow. bocznej



więc $\left(\frac{b}{2}\right)^2 + h^2 = a^2 \Rightarrow \left(\sin \frac{\pi}{m}\right)^2 + h^2 = a^2$

ale też $\left(\frac{\pi}{m}\right)^2 + \frac{1}{h^2} = a^2 \Rightarrow h^2 = \frac{1}{\frac{\pi}{m}} + \left(\frac{\pi}{m}\right)^2 - \sin^2 \frac{\pi}{m}$

i ostatecznie $P_{\Delta} = \sin \frac{\pi}{m} \sqrt{\frac{1}{h^2} + \left(\frac{\pi}{m}\right)^2 - \sin^2 \frac{\pi}{m}}$, więc

$$P_{n,m} = 2nm \sin \frac{\pi}{m} \sqrt{\frac{1}{n^2} + \left(\frac{\pi}{m}\right)^2 - \sin^2 \frac{\pi}{m}}$$

Dla $n=m$

$$P_{m,m} = 2m^2 \sin \frac{\pi}{m} \sqrt{\frac{\pi^2+1}{m^2} - \sin^2 \frac{\pi}{m}} = 2 \frac{\sin \frac{\pi}{m}}{\frac{\pi}{m}} \cdot \pi \sqrt{\pi^2+1 - \left(\frac{\sin \frac{\pi}{m}}{\frac{\pi}{m}}\right)^2 \pi^2}$$

$\rightarrow 2\pi$ i to jest spodziewany wynik

Weźmy jednak $n=m^2$, wtedy $\sin^2 t = t^2 - \frac{t^4}{3} + o(t^5)$, więc

$$P_{m^2,m} = 2m^3 \sin \frac{\pi}{m} \sqrt{\frac{1}{m^4} + \frac{\pi^2}{m^2} - \sin^2 \frac{\pi}{m}} = 2 \frac{\sin \frac{\pi}{m}}{\frac{\pi}{m}} \pi \cdot \sqrt{1 + \frac{\pi^2}{m^2} - \frac{\pi^2}{m^2} + \frac{\pi^4}{3m^4} + o\left(\frac{1}{m^5}\right)}$$
$$\sqrt{1 + \frac{\pi^4}{3} + o\left(\frac{1}{m}\right)} \rightarrow 2\pi \sqrt{1 + \frac{\pi^4}{3}}$$

i to już nie jest dobry wynik.

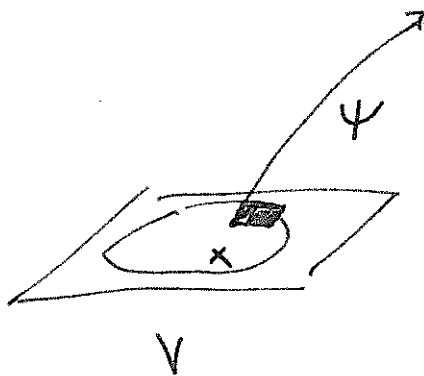
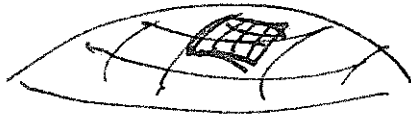
A oła $n=m^3$

$$P_{m^3,m} = 2m^4 \sin \frac{\pi}{m} \sqrt{\frac{1}{m^6} + \frac{\pi^2}{m^2} - \sin^2 \frac{\pi}{m}} =$$
$$= 2 \frac{\sin \frac{\pi}{m}}{\frac{\pi}{m}} \cdot \pi \sqrt{1 + m^6 \left(\frac{\pi^2}{m^2} - \frac{\pi^2}{m^2} + \frac{\pi^4}{3m^4} + o\left(\frac{1}{m^5}\right) \right)} =$$
$$= 2 \frac{\sin \frac{\pi}{m}}{\frac{\pi}{m}} \cdot \pi \sqrt{1 + m^2 \frac{\pi^4}{3} + o(m)} \rightarrow +\infty$$

A więc trzeba inaczej.

Pomysł:

Powierchnia (czy też ogólniej - rozmaitość gładka wym. k w \mathbb{R}^n) ma lokalnie opis parametryczny



Wzmy w V ~~mała~~ małą kostkę εQ k -wym.
rozpiętą przez wektory ~~$\varepsilon e_1, \dots, \varepsilon e_k$~~
 $\varepsilon e_1, \dots, \varepsilon e_k$

Obrazem tej kostki jest jakiś mały kawałek powierzchni - Tanka.

O ile większa kostka jest dost. mała, ψ jest dobre na niej przybliżone przez swoje wzw.

Taylorowa stopnia 1: $\psi(y) \approx \psi(x) + D\psi(x)(y-x)$

wzgl. y to jest p -nie afiniczne.

Obrazem kostki εQ w tym p -nie afinicznym jest równoległoscian zaceptowy w $\psi(x)$, o krawędziach $\varepsilon D\psi(x)e_1, \dots, \varepsilon D\psi(x)e_k$. Jaka jest jego (k -wymiarowa) objętość?

Tu trzeba przypomnieć trochę GAU.

Jaka jest objętość n -wym. równoległościanu $\text{Vol}(v_1, \dots, v_n)$ rozpiętego przez wektory v_1, \dots, v_n ?

Dla (pozornego) utrudnienia rozważmy objętość ze znakiem: $+$, gdy v_1, \dots, v_n są ~~lin. niezależne~~ bazą, zorient. dodatnio, $-$, gdy nie (gdy nie są lin. niezależne, nie mamy problemu, objętość jest zero).

Łatwo sprawdzić, że $\text{Vol}(v_1, \dots, v_n)$ zmienia znak, gdy zamienimy 2 argumenty i że jest liniowa wgl. każdego z argumentów (dlaczego?), jest więc formą n -liniową. Dodatkowo,

$\text{Vol}(e_1, \dots, e_n) = 1$. Przestrzeń n -form $\wedge^n \mathbb{R}^n$ (tm. przestrzeń n -liniowych antysymetrycznych w \mathbb{R}) jest 1-wymiarowa, bo ~~wartość~~ n -formy jest jedyną wyznaczoną przez swoją wartość na (e_1, \dots, e_n) , a my znamy n -formę, która na (e_1, \dots, e_n) przyjmuje 1 — to wyznacznik.

Stąd $\text{Vol}(v_1, \dots, v_n) = \det(v_1, \dots, v_n)$

i objętość (bez znaku) to $|\det(v_1, \dots, v_n)|$

Gdy chcemy obliczyć objętość k -wym. równoległościanu w \mathbb{R}^n , rozpiętego przez wektory $e_1, \dots, (v_1, \dots, v_k), e_{k+1}, \dots, e_n$.

jest ciut trudniej, ale mamy wyznacznik Grama.

Def: Macierz Grama układu wektorów

$v_1, \dots, v_m \in \mathbb{R}^n$ to macierz $G(v_1, \dots, v_m) \in M^{m \times m}$

o wyrazach $G_{ij} = \langle v_i, v_j \rangle$

Wyznacznik tej macierzy (też często oznaczany $\det G(v_1, \dots, v_m)$ lub $\text{Gram}(v_1, \dots, v_m)$) to wyznacznik Grama tego układu.

Nietrudno zauważyć, że gdy T jest macierzą, której kolumnami są wektory v_1, \dots, v_m , to

macierz Grama tych wektorów to

$$G(v_1, \dots, v_m) = T^T T$$

a wyznacznik Grama to

$\text{Gram}(v_1, \dots, v_m) = \det T^T T$; jeżeli $m = n$, to macierz T jest kwadratowa, $\det T = \det T^T$

i $\text{Gram}(v_1, \dots, v_n) = (\det T)^2$.

Stwierdzenie: $|\text{Gram}(v_1, \dots, v_m)|$ to m -wymiarowa miara Lebesgue'a m -wymiarowego równoległoscianu rozpiętego w \mathbb{R}^n przez wektory v_1, \dots, v_m .

Wyznacznik Grama

Jørgen Pedersen Gram (1850-1916)
dński matematyk i aktuariusz,
wkład w analityczną teorię liczb
i statystyk matematycznych.

Niech $v_1, \dots, v_m \in \mathbb{R}^n$.

Macierz Grama wektorów v_1, \dots, v_m nazywamy macierz
 $G(v_1, \dots, v_m)$ o wyznach $G_{ij} = \langle v_i, v_j \rangle$.

Wyznacznikiem Grama tego układu wektorów nazywamy
 $\det G(v_1, \dots, v_m)$, ozn. $\text{Gram}(v_1, \dots, v_m)$ lub, dla
zmylenia przeciwnika, również $G(v_1, \dots, v_m)$

Kluczowa własność: $\text{Gram}(v_1, \dots, v_m)$ to
kwadrat objętości (tj m -wym. miary Lebesgue'a)
równoległoscianu rozpiętego przez wektory v_1, \dots, v_m .

Dowód (tylko w przypadku $m=n$, proszę zastanowić
się, jak to zrobić na $m < n$).

Rozważmy przekształcenie liniowe $T \in \text{Hom}(\mathbb{R}^n, \mathbb{R}^n)$
takie, że $Te_i = v_i$.

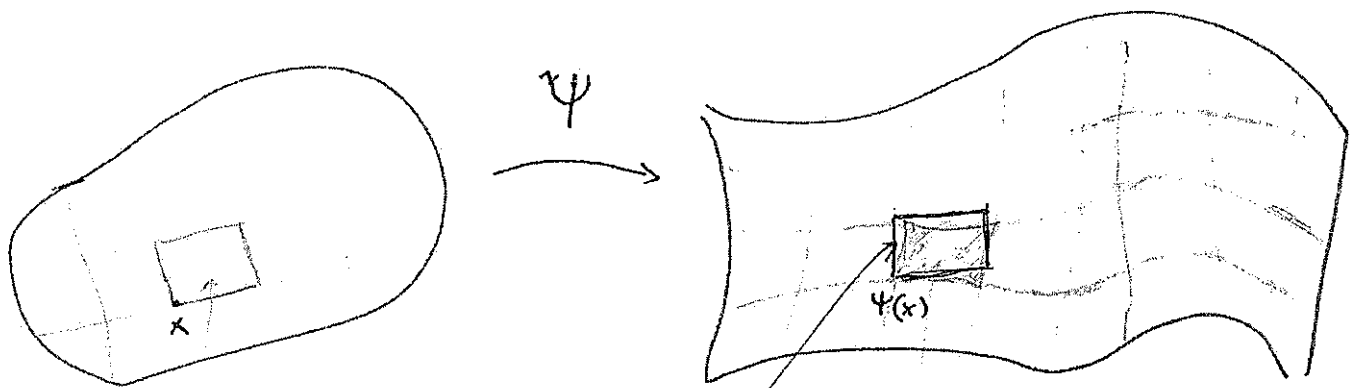
Wtedy oczywiście macierz T ma postać (v_1, \dots, v_n) ,
 $G(v_1, \dots, v_n) = T^T \cdot T$, $\text{Gram}(v_1, \dots, v_n) = \det(T^T \cdot T) =$
 $= (\det T)^2$.

Z drugiej strony równoległościąm rozpięty przez v_1, \dots, v_n to $T(Q)$, gdzie $Q = [0, 1]^n$.

Stąd $\lambda_n(T(Q)) = |\det T| \cdot \lambda_n(Q) = |\det T|$.

□

Niech teraz $M \subset \mathbb{R}^n$ będzie k -wymiarową rozmaitością zamkniętą klasy C^1 . Wtedy M jest „pokrzywana” z kawałków - płatów, dla których mamy parametryzację:



$U \subset \mathbb{R}^k$
zbiór otwarty

(mała kostka w \mathbb{R}^k)
mały kwadracik K
o bokach równoległych
do osi współrzędnych

$\Psi: U \rightarrow \mathbb{R}^n$ parametryzacja:
homeomorfizm U na $\Psi(U)$,
 $D\Psi(x)$ ma dla $x \in U$ rząd
maksymalny (tzn. k).

$\Psi(x) + D\Psi(x)(K-x)$

$\Psi(K)$

Im mniejszy jest kwadracik K , tym lepiej równoległościąm $\Psi(x) + D\Psi(x)(K-x)$ przybliża $\Psi(K)$.

Macierz ~~przekształcenia~~ afinicznego

$T(y) = \Psi(x) + D\Psi(x)(y-x)$ to po prostu $D\Psi(x)$,

więc $\lambda_k(T(K)) = |\det T| \lambda_k(K) =$

$= \text{Gram}(D\Psi(x)e_1, D\Psi(x)e_2, \dots, D\Psi(x)e_k) \lambda_k(K).$

$= \sqrt{\det(D\Psi(x)^T D\Psi(x))} \lambda_k(K).$

Jeżeli teraz $A \subset U$ jest zbiorem mierzalnym,

to miarę powierzchniową zbioru $\Psi(A) \subset M$

definiujemy jako

$$\sigma_k(\Psi(A)) = \int_A \sqrt{\det(D\Psi(x)^T D\Psi(x))} d\lambda_m(x).$$

W ten sposób definiujemy miarę na M
- tylko czy definicja ta nie zależy
od wyboru parametryzacji? od sposobu
podzielenia $X \subset M$ miotły dziedzin map (tzn. płaty)?

Na pytania te odpowiemy za chwile, na
razie obliczymy objętość trójwymiarowej sfery
jednostkowej

$$S^3 = \{x \in \mathbb{R}^4 : \|x\| = 1\}$$

Wystarczy oczywiście wyznaczyć objętość „półsfery północnej” $N = \{(x_1, x_2, x_3, x_4) \in \mathbb{R}^4 : x_1^2 + x_2^2 + x_3^2 + x_4^2 = 1, x_4 > 0\}$, objętość całej sfery S^3 to dwukrotność objętości N .

N jest płatem: jeżeli przez B^3 oznaczymy kulę jednostkową w \mathbb{R}^3 , to $B^3 = \{z \in \mathbb{R}^3 : \|z\| < 1\}$

$$\Psi: B^3 \rightarrow \mathbb{R}^4$$

$$\Psi(z_1, z_2, z_3) = (z_1, z_2, z_3, \sqrt{1 - (z_1^2 + z_2^2 + z_3^2)})$$

przekształca B^3 w N , mamy też

$$d\Psi(z) = \begin{pmatrix} 1 & 0 & 0 \\ 0 & 1 & 0 \\ 0 & 0 & 1 \\ -\frac{z_1}{\sqrt{1-\|z\|^2}} & -\frac{z_2}{\sqrt{1-\|z\|^2}} & -\frac{z_3}{\sqrt{1-\|z\|^2}} \end{pmatrix}$$

\parallel \parallel \parallel
 v_1 v_2 v_3

widać, że $d\Psi(z)$ ma rząd 3, czyli maksymalny.

$$d\Psi(z)^T d\Psi(z) = G(v_1, v_2, v_3) =$$

$$= \begin{pmatrix} 1 + \frac{z_1^2}{1-\|z\|^2} & \frac{z_1 z_2}{1-\|z\|^2} & \frac{z_1 z_3}{1-\|z\|^2} \\ \frac{z_1 z_2}{1-\|z\|^2} & 1 + \frac{z_2^2}{1-\|z\|^2} & \frac{z_2 z_3}{1-\|z\|^2} \\ \frac{z_1 z_3}{1-\|z\|^2} & \frac{z_2 z_3}{1-\|z\|^2} & 1 + \frac{z_3^2}{1-\|z\|^2} \end{pmatrix}$$

$$D\Psi(z) = \begin{pmatrix} 1 & 0 & 0 \\ 0 & 1 & 0 \\ 0 & 0 & 1 \\ \frac{-z_1}{\sqrt{1-\|z\|^2}} & \frac{-z_2}{\sqrt{1-\|z\|^2}} & \frac{-z_3}{\sqrt{1-\|z\|^2}} \end{pmatrix}$$

$\uparrow \nu_1$ $\uparrow \nu_2$ $\uparrow \nu_3$

$$1 + \frac{z_1^2}{1-\|z\|^2} = \frac{1-z_1^2-z_2^2-z_3^2}{1-\|z\|^2}$$

$$D\Psi(z)^T \cdot D\Psi(z) = G G^T(\nu_1, \nu_2, \nu_3) =$$

$$= \begin{pmatrix} 1 + \frac{z_1^2}{1-\|z\|^2} & \frac{z_1 z_2}{1-\|z\|^2} & \frac{z_1 z_3}{1-\|z\|^2} \\ \frac{z_1 z_2}{1-\|z\|^2} & 1 + \frac{z_2^2}{1-\|z\|^2} & \frac{z_2 z_3}{1-\|z\|^2} \\ \frac{z_1 z_3}{1-\|z\|^2} & \frac{z_2 z_3}{1-\|z\|^2} & 1 + \frac{z_3^2}{1-\|z\|^2} \end{pmatrix}$$

$$\det(D\Psi(z)^T \cdot D\Psi(z)) =$$

$$= \left(\frac{1}{1-\|z\|^2} \right)^3 \det \begin{pmatrix} 1-z_1^2-z_2^2-z_3^2 & z_1 z_2 & z_1 z_3 \\ z_1 z_2 & 1-z_1^2-z_2^2-z_3^2 & z_2 z_3 \\ z_1 z_3 & z_2 z_3 & 1-z_1^2-z_2^2-z_3^2 \end{pmatrix} =$$

$$= \frac{1}{(1-\|z\|^2)^3} \left((1-z_1^2-z_2^2-z_3^2)(1-z_1^2-z_2^2-z_3^2)(1-z_1^2-z_2^2-z_3^2) + \right.$$

$$+ 2 z_1^2 z_2^2 z_3^2 - z_1^2 z_3^2 (1-z_1^2-z_2^2-z_3^2) -$$

$$\left. - z_2^2 z_3^2 (1-z_1^2-z_2^2-z_3^2) - z_1^2 z_2^2 (1-z_1^2-z_2^2-z_3^2) \right)$$

$$\text{więc } \det(D\psi(z)^T D\psi(z)) =$$

$$= \frac{1}{(1 - \|z\|^2)^3} \det \begin{pmatrix} 1 - z_2^2 - z_3^2 & z_1 z_2 & z_1 z_3 \\ z_1 z_2 & 1 - z_1^2 - z_3^2 & z_2 z_3 \\ z_1 z_3 & z_2 z_3 & 1 - z_1^2 - z_2^2 \end{pmatrix}$$

$$\uparrow = \frac{1}{(1 - \|z\|^2)^3} (1 - \|z\|^2)^2 = \frac{1}{1 - \|z\|^2}$$

trochę
rachunków

$$\text{i ostatecznie } \sigma_3(N) = \int_{\mathbb{B}^3} \frac{1}{\sqrt{1 - \|z\|^2}} d\lambda_3(z) =$$

$$= \int_0^1 \int_{S^2} \frac{1}{\sqrt{1 - r^2}} r^2 d\sigma_2(s) d\lambda_1(r) =$$

(ds dr)

$$= \int_0^1 \frac{r^2}{\sqrt{1 - r^2}} \left(\int_{S^2} d\sigma_2(s) \right) dr =$$

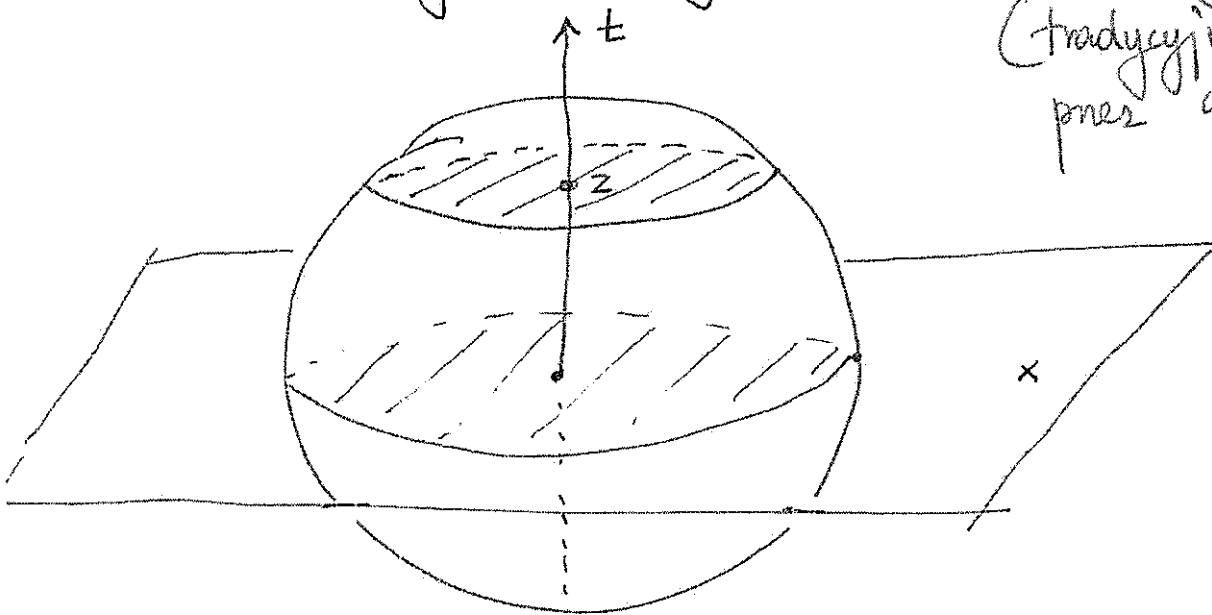
pole sfery jednostkowej
w \mathbb{R}^3 , a więc 4π

$$= 4\pi \cdot \frac{\pi}{4} = \pi^2, \text{ więc } \sigma_3(S^3) = 2\pi^2$$

Reszta

Miara kuli jednostkowej w \mathbb{R}^n .

Oznaczmy ją
(tradycyjnie)
przez ω_n .



Niech $\mathbb{R}^n \ni (x, t)$, $x \in \mathbb{R}^{n-1}$, $t \in \mathbb{R}$.

Przekrój kuli jednostkowej B^n na wysokości $z = t$
(hiper)przecięcia, równoległy do (hiper)przestrzeni x

to kula $(n-1)$ wymiarowa o promieniu $\sqrt{1-z^2}$
(tw. Pitagorasa). Stąd pole tego przekroju

to $(1-z^2)^{\frac{n-1}{2}} \cdot \omega_{n-1}$ (dlaczego?).

$$\text{Dlatego } \omega_n = \int_{-1}^1 (1-z^2)^{\frac{n-1}{2}} \omega_{n-1} dz = \omega_{n-1} \cdot 2 \int_0^1 (1-z^2)^{\frac{n-1}{2}} dz =$$

$$= \omega_{n-1} \int_0^1 (1-s)^{\frac{n-1}{2}} s^{-1/2} ds = \omega_{n-1} \cdot B\left(\frac{n+1}{2}, \frac{1}{2}\right),$$

$$\begin{aligned} s &= z^2 \\ z &= \sqrt{s} \\ dz &= \frac{1}{2} s^{-1/2} ds \end{aligned}$$

gdzie $B(a, b) = \int_0^1 (1-s)^{a-1} s^{b-1} ds$ to funkcja
Beta Eulera.

Stąd dalej

$$\omega_n = \omega_{n-1} B\left(\frac{n+1}{2}, \frac{1}{2}\right) = \omega_{n-1} \frac{\Gamma\left(\frac{n+1}{2}\right) \Gamma\left(\frac{1}{2}\right)}{\Gamma\left(\frac{n+2}{2}\right)}$$

Pamiętamy, że $\Gamma\left(\frac{1}{2}\right) = \sqrt{\pi}$; $\omega_1 = 2$, więc

$$\begin{aligned} \omega_n &= \omega_{n-1} \cdot \frac{\Gamma\left(\frac{n+1}{2}\right)}{\Gamma\left(\frac{n+2}{2}\right)} \cdot \sqrt{\pi} = \omega_{n-2} \frac{\Gamma\left(\frac{n}{2}\right) \cancel{\Gamma\left(\frac{n+1}{2}\right)}}{\cancel{\Gamma\left(\frac{n+1}{2}\right)} \Gamma\left(\frac{n+2}{2}\right)} \left(\sqrt{\pi}\right)^2 \\ &= \dots = \omega_1 \cdot \frac{\Gamma\left(\frac{3}{2}\right)}{\Gamma\left(\frac{n+2}{2}\right)} \left(\sqrt{\pi}\right)^{n-1} = 2 \cdot \frac{\frac{1}{2} \Gamma\left(\frac{1}{2}\right)}{\Gamma\left(\frac{n+2}{2}\right)} \sqrt{\pi} = \\ &= \frac{\pi^{n/2}}{\Gamma\left(\frac{n+2}{2}\right)}. \end{aligned}$$

Zadanie: Postępując analogicznie jak przy obliczeniu $\sigma_3(\mathbb{S}^3)$ uświadom, że $\sigma_n(\mathbb{S}^n) = n\omega_n$.

Przydatny trick przy obliczaniu wyznacznika Grama:

Wzór Cauchy'ego - Bineta

Niech $A \in M^{m \times n}$ $m \leq n$
 $B \in M^{n \times m}$

Wtedy AB jest macierzą $m \times m$. Jak sprawnie obliczyć $\det AB$?

Jacques Philippe Marie Binet
1786 - 1856
uczył w École Polytechnique,
przyjaciel Cauchy'ego;
osiągnięcia w geometrii, teorii liczb;
jeden z wzorów na wyznacznik ciągu
Fibonacciego; funkcja B Eulera
w nieywności wprowadzona została
przez Bineta.

Dowód wzoru Cauchy'ego - Bineta

Niech $A = (a_{ij})$, $B = (b_{ij})$

Wtedy $AB = \sum_j a_{ij} b_{jk}$, więc

k -ta kolumna $AB = \sum_j b_{jk} \cdot j$ -ta kolumna A

stąd $\det AB = \sum_{j_1} b_{j_1, 1} \cdot \det$ (macierz AB , której w pierwszej kolumnie podwinięliśmy wyrazy, ktądże j_1 -wszą kolumnę macierzy A)

robisz tak dalej, z kolejnymi kolumnami, dostajemy

$$= \sum_{j_1, j_2, \dots, j_m=1}^n b_{j_1, 1} \cdot b_{j_2, 2} \cdot \dots \cdot b_{j_m, m}$$

• \det (macierz, której k -ta kolumna to j_k -ta kolumna macierzy A , czyli $(A_{\text{kol } j_1}, A_{\text{kol } j_2}, \dots, A_{\text{kol } j_m})$)

tutaj oczywiście często $j_k = j_k$, ale wtedy wyznacznik jest równy 0. stąd, grupując wyrazy różniące się tylko kolejnością kolumn,

$$= \sum_{\substack{1 \leq j_1 < j_2 < \dots < j_m \leq n \\ S = \{j_1, \dots, j_m\}}} p(B, S) \det A(S)$$

gdzie $p(B, S)$ to współczynnik zależny od macierzy B i podzbioru S (ale już niezależny od A).

Aby wyznaczyć $p(B, S)$ ustalmy $S = \{j_1, j_2, \dots, j_m\}$

i niech $A^{\#} = \begin{pmatrix} 0, 0, e_1, e_2, 0, e_3, \dots, e_m, 0 \\ j_1 \quad j_2 \quad j_3 \quad j_m \end{pmatrix}$

będzie macierzą, której j_k -ta kolumna to e_k , a pozostałe są równe zero.

Wzór Cauchy'ego - Bineta:

Niech $S = \{i_1, i_2, \dots, i_m\} : 1 \leq i_1 < i_2 < \dots < i_m \leq n$

$A(S)$ to macierz $m \times m$ powstająca z A przez wybranie kolumn o indeksach i_1, \dots, i_m

$B(S)$ to macierz $m \times m$ powstająca z A przez wybranie wierszy o indeksach i_1, \dots, i_m

$$\det AB = \sum_{\text{po wszystkich wyborach } S} \det A(S) \cdot \det B(S).$$

Przykład: Przy obliczaniu $\sigma_3(\mathbb{S}^3)$ wyznaczymy $\det(D\psi(z)^T D\psi(z))$, gdzie $A = D\psi(z)^T = \begin{pmatrix} 1 & 0 & 0 & -\frac{z_1}{\sqrt{1-\|z\|^2}} \\ 0 & 1 & 0 & -\frac{z_2}{\sqrt{1-\|z\|^2}} \\ 0 & 0 & 1 & -\frac{z_3}{\sqrt{1-\|z\|^2}} \end{pmatrix}$

$$B = D\psi(z) = A^T.$$

Kolejne $A(S)$ powstają przez wyluszczenie z A jednej kolumny; $B(S)$ - przez wyluszczenie z B tego samego wiersza; więc $\det A(S) = \det B(S)$;

$$\det(AB) = \sum_z \left(\det \begin{pmatrix} 0 & 0 & -\frac{z_1}{\sqrt{1-\|z\|^2}} \\ 1 & 0 & -\frac{z_2}{\sqrt{1-\|z\|^2}} \\ 0 & 1 & -\frac{z_3}{\sqrt{1-\|z\|^2}} \end{pmatrix} \right)^2 +$$
$$+ \left(\det \begin{pmatrix} 1 & 0 & -\frac{z_1}{\sqrt{1-\|z\|^2}} \\ 0 & 0 & -\frac{z_2}{\sqrt{1-\|z\|^2}} \\ 0 & 1 & -\frac{z_3}{\sqrt{1-\|z\|^2}} \end{pmatrix} \right)^2 + \left(\det \begin{pmatrix} 1 & 0 & -\frac{z_1}{\sqrt{1-\|z\|^2}} \\ 0 & 1 & -\frac{z_2}{\sqrt{1-\|z\|^2}} \\ 0 & 0 & -\frac{z_3}{\sqrt{1-\|z\|^2}} \end{pmatrix} \right)^2 + \left(\det \begin{pmatrix} 1 & 0 & 0 \\ 0 & 1 & 0 \\ 0 & 0 & 1 \end{pmatrix} \right)^2$$

$$= \frac{1}{1-\|z\|^2} \left[\det \begin{pmatrix} 0 & -z_1 & 0 & 0 \\ 0 & -z_2 & 1 & 0 \\ 0 & -z_3 & 0 & 1 \end{pmatrix} \right]^2 + \left(\det \begin{pmatrix} 1 & -z_1 & 0 \\ 0 & -z_2 & 0 \\ 0 & -z_3 & 1 \end{pmatrix} \right)^2 +$$

$$+ \left(\det \begin{pmatrix} 1 & 0 & -z_1 \\ 0 & 1 & -z_2 \\ 0 & 0 & -z_3 \end{pmatrix} \right)^2 \Big] + 1 = \frac{z_1^2 + z_2^2 + z_3^2}{1-\|z\|^2} + 1 = \frac{1}{1-\|z\|^2}$$

Wtedy $\det A(s) = 1$, ale dla wszystkich $s' \neq s$ $\det A(s') = 0$.

Mamy też $AB = B(s)$. Stąd

$$\begin{aligned}\det B(s) &= \det AB = \sum_{s'} \beta(B, s') \det A(s') = \\ &= \beta(B, s) \det A(s) = \beta(B, s).\end{aligned}$$

To kończy dowód wzoru Cauchy'ego - Bineta.

Przykład zastosowania

Niech $V \subset \mathbb{R}^m$ będzie zbiorem otwartym, $\varphi \in C^1(V, \mathbb{R})$ i niech $W = \{(x, \varphi(x)) : x \in V\} \subset \mathbb{R}^{m+1}$ będzie wykresem φ . Wtedy

$$\sigma_m(W) = \int_V \sqrt{1 + \|\nabla \varphi\|^2} d\lambda_m$$

Dowód:

$\Phi: V \ni x \mapsto (x, \varphi(x)) \in W$ jest parametryzacja wykresem,

więc

$$\sigma_m(W) = \int_V \sqrt{\det(D\Phi^T \cdot D\Phi)} d\lambda_m$$

$$D\Phi = (\text{id}_m, \nabla \varphi) = \begin{pmatrix} 1 & 0 & \dots & 0 & \varphi_{x_1} \\ 0 & 1 & & 0 & \varphi_{x_2} \\ \vdots & \vdots & & \vdots & \vdots \\ 0 & 0 & & 1 & \varphi_{x_n} \end{pmatrix}$$

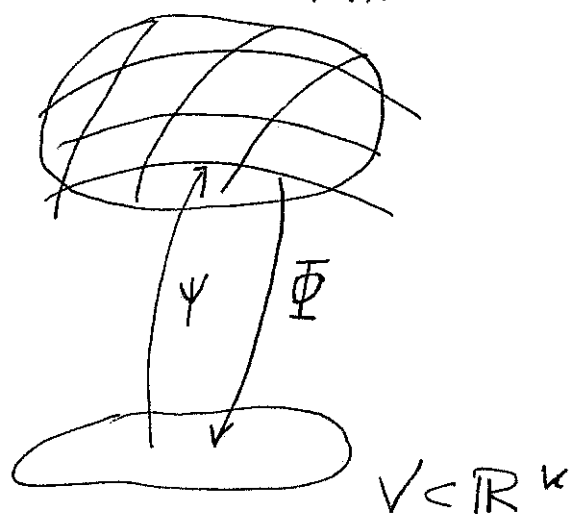
wykreślając kolejne kolumny dostajemy macierze kwadratowe

o wyznacznikach $\pm \varphi_{x_1}, \pm \varphi_{x_2}, \dots, \pm \varphi_{x_n}, 1$, więc

$$\det(D\Phi^T \cdot D\Phi) = 1 + \varphi_{x_1}^2 + \varphi_{x_2}^2 + \dots + \varphi_{x_n}^2 = 1 + \|\nabla \varphi\|^2.$$

Przypomnienie

Niech M będzie rozmaitością różniczkową, ^{wymiaru k ,} klasy C^1 w \mathbb{R}^n
i niech, dla $U \subset \mathbb{R}^n$ otwartego, zbiór $M \cap U$ będzie
sparametryzowany przy pomocy $\Psi: V \rightarrow \mathbb{R}^n$,
 $\hat{\mathbb{R}}^k$



tzn. Ψ jest homeomorfizmem
 V na $M \cap U$, klasy C^1 ,
 $D\Psi$ ma na V rząd maksymalny,
tzn. k .

Wówczas definiujemy na $M \cap U$ miarę,
zwaną miarą powierzchniową; jeżeli $X \subset M \cap U$,
to jest postaci $\Psi(A)$ dla pewnego $A \subset V$,
wystarczy więc opisać, jak wygląda miara
zbiorów $\Psi(A)$.

$$\sigma(\Psi(A)) = \int_A \sqrt{\det(D\Psi(x)^T D\Psi(x))} d\lambda_k(x)$$

dla wszystkich $A \subset V$ mierzalnych w sensie Lebesgue'a.
To oczywiście jest miara na σ -ciele

$$\mathcal{F} = \{\Psi(A) : A \subset V, A \in \mathcal{L}^k(\mathbb{R}^k)\}.$$

Oczywiście każdy podzbiór M możemy podzielić na przeliczalnie wiele kawałków, z których każdy będzie brał w odgórnym dziedzinie jednej mapy (tj. obrazie jednej parametryzacji) - to powinno pozwolić nam na mniemanie dowolnych borelowskich podzbiórów M - pod warunkiem, że wynik nie zależy

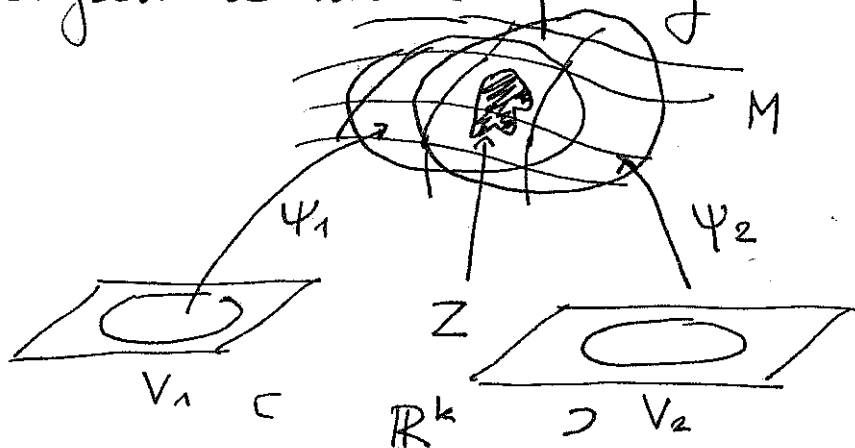
(1) od wyboru atlasu / parametryzacji

(2) od sposobu, w jaki zbiór dzielimy (oczywiście na mierzalne części)

Problem (2) jest mało istotny, jeśli ograniczamy się do atlasów lokalnie skończonych (tzn.

każdy punkt należy do skończonej liczby map) - a ~~podstawą~~ każda podprzestrzeń \mathbb{R}^n ma taki atlas, nie zamierzam w to głębiej wchodzić. Ważniejsze jest pytanie (1):

Załóżmy, że otoczenie zbioru Z mamy sparametryzowane na 2 sposoby



Miarę zbiorem Z możemy obliczyć korzystając z parametryzacji Ψ_1 i z parametryzacji Ψ_2 .

Czy wyjdzie to samo?

By na to odpowiedzieć, musimy trochę więcej dowiedzieć się o opisie parametrycznym rozważałości. Kluczem do tego jest pojęcie tniernienia, którego zastosowania są znacznie szersze.

Twierdzenie o rzędzie

Niech $V \subset \mathbb{R}^m$ będzie zbiorem otwartym i niech $\Psi \in C^k(V, \mathbb{R}^n)$. Założymy też, że $\forall x \in V$ rank $D\Psi$ jest stały i równy $r \in \{1, 2, \dots, m\}$

Wówczas dla każdego $a \in V$ istnieją otoczenia $V_1 \subset V$, $a \in V_1$ oraz $U \subset \mathbb{R}^n$, $\Psi(a) \in U$ oraz

dyfhomeomorfizm $f_1: V_1 \rightarrow f_1(V_1) \subset \mathbb{R}^m$ oraz

$f_2: U \rightarrow f_2(U) \subset \mathbb{R}^n$ klasy C^k , takie, że dla wszystkich $x = (x_1, \dots, x_m) \in f_1(V_1)$ mamy

$$f_2 \circ \Psi \circ f_1^{-1}(x) \stackrel{(*)}{=} (x_1, x_2, \dots, x_r, 0, \dots, 0).$$

Innymi słowy - jeżeli rząd Ψ w otoczeniu punktu a jest stały, to możemy tak zmienić współrzędne w dziedzinie i w obrazie Ψ , w otoczeniach a i $\Psi(a)$,

by przekształcenie Ψ w tych nowych współrzędnych przybrało formę (*) - czyli było nutem na pierwiastkach r współrzędnych.

W przypadku, gdy $\Psi: V \rightarrow \mathbb{R}^m$ jest parametryzacją płaszczyzny różnowartościową, twierdzenie mówi, że $\forall a \in V$, poprzez zmianę współrzędnych w dziedzinie (tj. otoczeniu a) i w obrazie (tj. w otoczeniu $\Psi(a)$) możemy sprawić, że M , w otoczeniu $\Psi(a)$ jest miejscem funkcji zerowej (w tych nowych współrzędnych).

Zadanie: Niech $U \subset \mathbb{R}^m$ będzie otwarty, $f \in C^1(U, \mathbb{R}^n)$. Wykaż, że zbiory $\{x \in U : \text{rank } Df \text{ jest stały w otoczeniu } x\}$ oraz $\{x \in U : \text{rank } Df \text{ ma w } x \text{ lokalne maksimum}\}$ są otwarte i gęste w U .

Dowód twierdzenia o niedzie. Ustalmy $a \in V$

Słowo $D\Psi(a)$ ma rząd r , to ma pewien niezerowy minor $r \times r$, bez straty ogólności możemy założyć, prenumerując zmienne w dziedzinie i w obrazie Ψ , że jest to minor odpowiadający zmiennym x_1, \dots, x_r i funkcjom ψ_1, \dots, ψ_r (czyli lewy górny

rog $D\psi$.

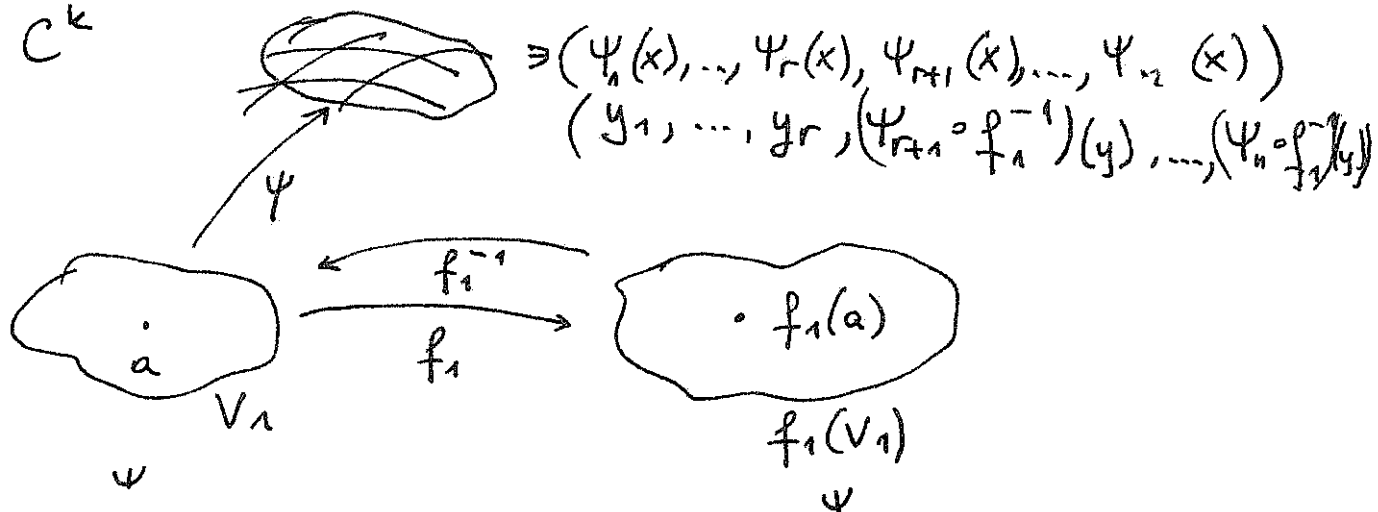
Niech teraz $f_1(x) = (\psi_1(x), \dots, \psi_r(x), x_{r+1}, \dots, x_m)$

$$f_1: V \rightarrow \mathbb{R}^m.$$

Widniemy, że $Df_1 = \begin{pmatrix} \left(\frac{\partial \psi_i}{\partial x_j} \right)_{i,j=1,\dots,r} & 0 \\ 0 & \text{id}_{(m-r) \times (m-r)} \end{pmatrix}$

ma ^{w a} rząd maksymalny (równy m), więc ~~dotychczas~~ istnieje otoczenie V_1 punktu a takie, że $f_1: V_1 \rightarrow f_1(V_1)$ jest dyfeomorfizmem

klasy C^k



$$x = (x_1, x_2, \dots, x_m) \longrightarrow (\psi_1(x), \dots, \psi_r(x), x_{r+1}, \dots, x_m)$$

$$y_1, \dots, y_r, y_{r+1}, \dots, y_m$$

widniemy więc, że $\psi \circ f_1^{-1}(y) = (y_1, \dots, y_r, h_{r+1}(y), \dots, h_m(y))$,

gdzie funkcje h_{r+1}, \dots, h_m są klasy C^k .

$$(bo \ h_j = \psi_j \circ f_1^{-1})$$

↑
klasy C^k ↑
też klasy C^k ,

bo f_1 jest dyfeomorfizmem kl. C^k

Widniwy też, że, dla $x \in V_1$,

$$D(\Psi \circ f_1^{-1})(f_1(x)) = D\Psi(x) \circ (Df_1^{-1})(f_1(x)) = \\ = D\Psi(x) \cdot \underbrace{Df_1(x)^{-1}}_{\text{to jest izomorfizm liniowy}}$$

wiec $\text{rank } D(\Psi \circ f_1^{-1})(f_1(x)) = \text{rank } D\Psi(x) = r$.

Z drugiej strony, dla $y \in f_1(V_1)$,

$$D(\Psi \circ f_1^{-1})(y) = \left(\begin{array}{c} \text{id}_{r \times r} \\ \left(\frac{\partial h_i}{\partial y_j}(y) \right)_{\substack{i=r+1, \dots, n \\ j=1, \dots, r}} \end{array} \quad \begin{array}{c} 0 \\ \left(\frac{\partial h_i}{\partial y_j}(y) \right)_{\substack{i,j=r+1, \dots, n}} \end{array} \right)$$

wiec żeby ta macierz mogła mieć rząd r ,
musimy mieć $\frac{\partial h_i}{\partial y_j}(y) = 0$ dla $i, j = r+1, \dots, n$,
co oznacza, że funkcje h_{r+1}, \dots, h_n zależą tylko
od zmiennych y_1, \dots, y_r , a więc

$$(\Psi \circ f_1^{-1})(y) = (y_1, \dots, y_r, h_{r+1}(y_1, \dots, y_r), \dots, h_n(y_1, \dots, y_r))$$

~~Wtedy~~ zatem z ~~fz~~ i funkcje h_{r+1}, \dots, h_n ,
dokład określone na $f_1(V_1)$, możemy traktować
jako funkcje na $P(f_1(V_1))$, gdzie P jest matrycą
ortogonalną na podprzestrzeni zmiennych y_1, \dots, y_r
(tzn $P = \begin{pmatrix} \text{id}_{r \times r} & 0 \\ 0 & Q_{(n-r) \times (n-r)} \end{pmatrix}$).

Zauważmy, że nat zbiorem otwartego jest zawsze zbiorem otwartym.

No to niech $f_2: P(f_1(V_1)) \times \mathbb{R}^{n-r} \rightarrow \mathbb{R}^n$

będzie dane wzorem

$$f_2(y_1, \dots, y_r, y_{r+1}, \dots, y_n) = (y_1, \dots, y_r, h_{r+1}(y_1, \dots, y_r) + y_{r+1}, \dots, h_n(y_1, \dots, y_r) + y_n).$$

$$\text{Mamy } Df_2(y) = \begin{pmatrix} \text{id}_{r \times r} & 0 \\ -\left(\frac{\partial h_i}{\partial y_j}\right)_{\substack{i=r+1, \dots, n \\ j=1, \dots, r}} & \text{id}_{(n-r) \times (n-r)} \end{pmatrix}$$

i widać, że macierz ta ma $\text{rang } n$,
 więc f_2 jest, w otoczeniu $\forall \frac{1}{2} U$ punktu $\psi(a)$,
 dyfeomorfizmem ~~otoczenia~~ \rightarrow (klasy C^k bo
 h_j są C^k). Stąd

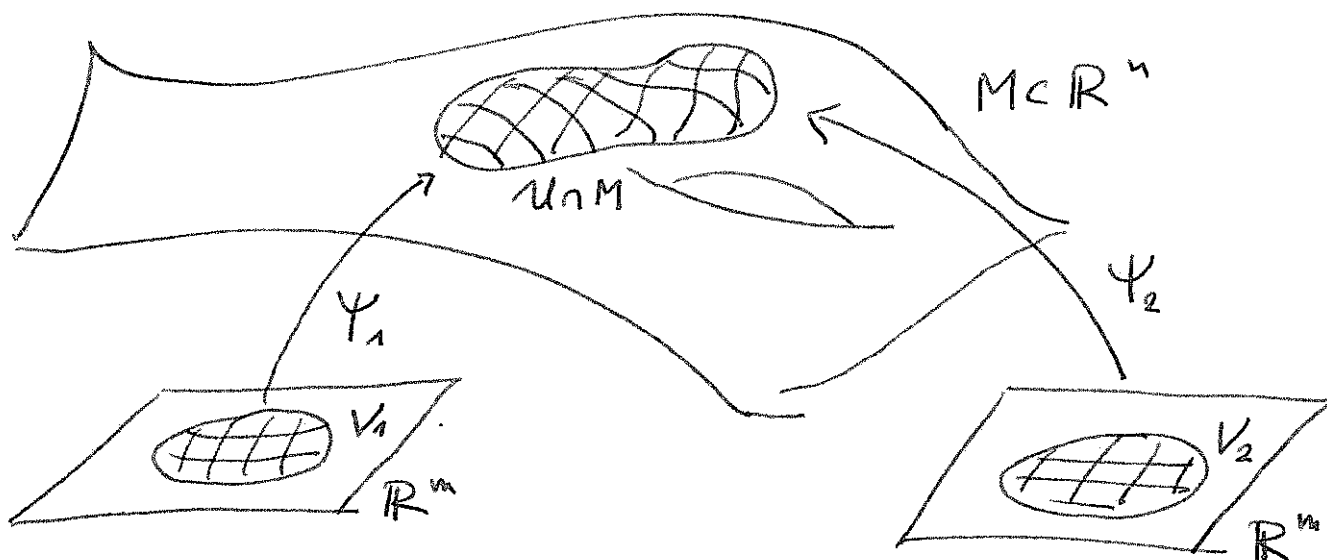
$$f_2 \circ \psi \circ f_1^{-1}: f_1(V_1) \rightarrow \mathbb{R}^n,$$

$$f_2 \circ \psi \circ f_1^{-1}(y_1, \dots, y_m) = \left(y_1, \dots, y_r, h_{r+1}(y_1, \dots, y_r), \dots, h_n(y_1, \dots, y_r) \right) \\ = (y_1, \dots, y_r, 0, 0, \dots, 0).$$

□.

Jednym z najważniejszych wniosków z tw. o regularności jest

Lemat o funkcjach przejścia



Załóżmy, że M jest m -wymiarową podrozmiernością \mathbb{R}^n klasy C^k . Niech $\Psi_1: V_1 \rightarrow \mathbb{R}^n$ i $\Psi_2: V_2 \rightarrow \mathbb{R}^n$ klasy C^k będą dwiema różnymi parametryzacjami tego samego płatu $U \cap M$ ($U \subset \mathbb{R}^n$ jest zbiorem otwartym).

Wówczas funkcje $\Psi_2^{-1} \circ \Psi_1: V_1 \rightarrow V_2$ oraz

$\Psi_1^{-1} \circ \Psi_2: V_2 \rightarrow V_1$ są dyfeomorfizmami klasy C^k .

Dowód: Oczywiście Ψ_1 i Ψ_2 są homeomorfizmami (odpowiednio $\Psi_1: V_1 \rightarrow \Psi_1(V_1) = U \cap M$ oraz

$$\Psi_2: V_2 \rightarrow \Psi_2(V_2) = U \cap M),$$

wiec złożenie $\Psi_2^{-1} \circ \Psi_1$ też jest homeomorfizmem

i $(\Psi_2^{-1} \circ \Psi_1)^{-1} = \Psi_1^{-1} \circ \Psi_2$. Jedynym więc, co zostaje

do udowodnienia to to, że $\Psi_2^{-1} \circ \Psi_1$ oraz $\Psi_1^{-1} \circ \Psi_2$ są klasy C^k . Poprostaniemy na dowodzie, że $\Psi_2^{-1} \circ \Psi_1$ jest klasy C^k , drugą z funkcji badamy dokładnie tak samo.

Ustalmy $a \in V_1$. W całym V_1 nad $D\Psi$ jest stały (rdny m), więc z tw. o rdnie istnieje dyfemorfizm $f_1: \tilde{V}_1 \rightarrow f_1(\tilde{V}_1)$ i $f_2: \tilde{U} \rightarrow f_2(\tilde{U})$, gdzie $\tilde{V}_1 \subset V_1$ jest otoczeniem a , $\tilde{U} \subset U$ - otoczeniem $\Psi(a)$, takie, że $f_2 \circ \Psi_1 \circ f_1^{-1}(x) = (x_1, x_2, \dots, x_m, 0, 0, \dots, 0)$ dla $x \in f_1(\tilde{V}_1)$.

Oznaczmy przez P nut z \mathbb{R}^n na \mathbb{R}^m , na pod- n pierwszych m zmiennych: $P(y_1, \dots, y_m, y_{m+1}, \dots, y_n) = (y_1, \dots, y_m)$.

P ma prawostronną odwrotność: $P^{-1}: \mathbb{R}^m \rightarrow \mathbb{R}^n$,

$P^{-1}(x_1, \dots, x_m) = (x_1, \dots, x_m, 0, 0, \dots, 0)$, wiemy też, że

$f_2 \circ \Psi_1 \circ f_1^{-1} = P^{-1}$ na $f_1(\tilde{V}_1)$ jest klasy C^k (a nawet C^∞).

Stąd $f_1 \circ \Psi_1^{-1} \circ f_2^{-1} = (f_2 \circ \Psi_1 \circ f_1^{-1})^{-1} = P: P^{-1}(f_1(\tilde{V}_1)) \rightarrow f_1(\tilde{V}_1)$ jest klasy C^k , wtedy jednak

$\Psi_1^{-1} \circ \Psi_2 = \underbrace{f_1^{-1}}_{\text{klasy } C^k \text{ dyfemorf.}} \circ \underbrace{f_1 \circ \Psi_1^{-1} \circ f_2^{-1}}_{P, \text{ klasy } C^k} \circ \underbrace{f_2 \circ \Psi_2}_{\text{klasy } C^k \text{ dyfemorf.}}$ też jest klasy C^k .

□.

Wniosek

Miara powierzchniowa na M nie zależy od wyboru parametryzacji. Jeżeli bowiem

$\Psi_1: V_1 \rightarrow \mathcal{U} \cap M$ i $\Psi_2: V_2 \rightarrow \mathcal{U} \cap M$ są dwiema parametryzacjami tego samego płata $\mathcal{U} \cap M$

i $D \subset \mathcal{U} \cap M$ jest borelowskim podzbiorem $\mathcal{U} \cap M$,

$D = \Psi_1(A_1) = \Psi_2(A_2)$, to

oznacmy $\varphi: V_2 \rightarrow V_1$, $\varphi = \Psi_1^{-1} \circ \Psi_2$
z Lematu o funkcjach przejścia jest to dyfemorfizm klasy C^k ,
 $\Psi_2 = \Psi_1 \circ \varphi$, $\varphi(A_2) = A_1$

oraz, dla $y = \varphi(x)$

$$\begin{aligned} D\Psi_2(x)^T D\Psi_2(x) &= (D\Psi_1(y) D\varphi(x))^T D\Psi_1(y) D\varphi(x) = \\ &= (D\varphi(x))^T \left[(D\Psi_1(y))^T D\Psi_1(y) \right] D\varphi(x) \end{aligned}$$

$$\text{skąd } \sqrt{\det D\Psi_2(x)^T D\Psi_2(x)} = |\det D\varphi(x)| \sqrt{\det (D\Psi_1(y))^T D\Psi_1(y)}$$

$$\int_{A_2} \sqrt{\det D\Psi_2(x)^T D\Psi_2(x)} dx = \int_{A_2} |\det D\varphi(x)| \cdot \sqrt{\det (D\Psi_1(y))^T D\Psi_1(y)} dx$$

$\| y = \varphi(x) \|$

to jest $\sigma(D)$ obliczona przy pomocy Ψ_2

a to jest $\sigma(D)$ obliczona przy pomocy Ψ_1

$$\int_{\varphi^{-1}(A_2)} \sqrt{\det (D\Psi_1(y))^T D\Psi_1(y)} dy$$

$\| \varphi^{-1}(A_2) \|$
 $\| A_1 \|$

□.

Rekapitulując:

Dla każdej podrozmiatości $M \subset \mathbb{R}^n$ lub \mathbb{C}^k ,
wymiar m , możemy znaleźć atlas preliczący
(czyli preliczące wiele parametryzacji $\Psi_i: V_i \rightarrow \mathbb{R}^n$
tż $\Psi_i(V_i) = U_i \cap M$ pokrywają M)

Każdy borelowski podzbiór B rozmiatości M
możemy rozłożyć na preliczące wiele
wzajemnych części B_i tż $B_i \subset U_i \cap M$

$$(B_1 = B \cap U_1, B_2 = (B \cap U_2) \setminus U_1, \dots), \text{ wtedy}$$
$$\sigma(B) = \sum_{i=1}^{\infty} \sigma(B_i) = \sum_{i=1}^{\infty} \int_{A_i} \sqrt{|\det D\Psi_i^T D\Psi_i|} d\lambda_m$$

$$\text{gdzie } A_i = \Psi_i^{-1}(B_i) \subset V_i.$$

Druga reguła Pappusa - Guldina

Niech $\Gamma \subseteq \{x \in \mathbb{R}^3 : x_1 > 0, x_2 = 0\}$ będzie krzywą ^{kl. C^k} (tzn. rozmaitością wymiaru 1)

i niech $A \subset \Gamma$ będzie zbiorem mierzalnym wzgl. σ_Γ , który ma (wzgl. σ_Γ) środek ciężkości $S_A = (s_1, s_2, s_3) = (s_1, 0, s_3)$

Niech teraz B będzie zbiorem, który powstaje w wyniku obrotu A o kąt $\alpha \in (0, 2\pi]$ wzgl. osi $x_1 = x_2 = 0$, $M \subset \mathbb{R}^3$ - rozmaitością powstałą z obrotu Γ wzgl. $x_1 = x_2 = 0$ o kąt α :

Wniosek $\sigma_M(B) = \alpha r \sigma_\Gamma(A)$, gdzie r jest odległością S_A od osi obrotu (tzn. $r = s_3$)

Dowód: W sformułowaniu ukrytym miedowodniowy fakt, że M niezmiennie jest rozmaitością (wymiaru 2) klasy C^k .

Niech $\gamma: (a, b) \rightarrow \mathbb{R}^3$ będzie lokalną parametryzacją Γ , $\gamma = (\gamma_1, 0, \gamma_3)$, wtedy

$\Psi(x, t) = (\gamma_1(x) \cos t, \gamma_1(x) \sin t, \gamma_3(x))$ jest lok.

parametryzacją M , o ile $t \in (\beta_1, \beta_2)$ i $\beta_2 - \beta_1 < 2\pi$
 $0 < \beta_1 < \beta_2 \leq \alpha$

i metnodno sprawdzić, że $D\Psi$ ma rząd maksymalny i że Ψ jest dyf. tej ~~samej~~ klasy C^k , gdy γ jest klasy C^k oraz że Ψ jest homeomorfizmem $(a,b) \times (\beta_1, \beta_2)$ na $\Psi((a,b) \times (\beta_1, \beta_2)) \subset M$. Oczywiście w ten sposób możemy pokryć całą M .

$$D\Psi(x,t) = \begin{pmatrix} \gamma_1'(x) \cos t & -\gamma_1(x) \sin t \\ \gamma_1'(x) \sin t & \gamma_1(x) \cos t \\ \gamma_3'(x) & 0 \end{pmatrix}$$

wiec

$$D\Psi(x,t)^T \cdot D\Psi(x,t) = \begin{pmatrix} \gamma_1'(x)^2 + \gamma_3'(x)^2 & 0 \\ 0 & \gamma_1^2(x) \end{pmatrix}$$

$$\det \left(\text{---} \text{"---"} \right) = (\gamma_1'(x)^2 + \gamma_3'(x)^2) \gamma_1^2(x)$$

~~Wzrost~~ Niech teraz $\tilde{A} = A \cap \gamma((a,b))$ będzie częścią A leżącą w obrębie parametryzacji γ .

i zauważ

$$\underbrace{\sigma_M(\Psi(\gamma^{-1}(\tilde{A}) \times (0, \alpha)))}_{\substack{\text{część } B \text{ powstająca z obrótu} \\ \tilde{A} \text{ o kąt } \alpha}} = \int_{\substack{\gamma^{-1}(\tilde{A}) \times (0, \alpha) \\ \beta}} \gamma_1(x) \sqrt{\gamma_1'^2(x) + \gamma_3'^2(x)} dx d\beta$$

$$\stackrel{\text{Fubini}}{=} \alpha \int_{\gamma^{-1}(\tilde{A})} \gamma_1(x) \sqrt{\gamma_1'(x)^2 + \gamma_3'(x)^2} dx = \alpha \int_{\tilde{A}} x_1 d\sigma_M$$

Jeżeli teraz rozłożymy A na sumę rozłącznych
 \tilde{A}_i leżących w ~~dwóch~~ obszarach parametryzacji
 $\gamma^i: (a^i, b^i) \rightarrow \Gamma$, to

$$\sigma_M(B) = \sum_i \alpha \int_{\tilde{A}_i} x_1 d\sigma_\Gamma = \alpha \int_A x_1 d\sigma_\Gamma = \alpha s_1 \sigma_\Gamma(A)$$